

УДК 541.135

© 1991 г.

Губский С. М., Въонник И. Н., Нерух Д. А.

**ТЕМПЕРАТУРНАЯ ЗАВИСИМОСТЬ РАВНОВЕСНЫХ
И ТРАНСПОРТНЫХ СВОЙСТВ 1-1-ЭЛЕКТРОЛИТОВ
В 1-ПРОПАНОЛЕ**

**I. ПРЕДЕЛЬНЫЕ МОЛЯРНЫЕ ЭЛЕКТРИЧЕСКИЕ ПРОВОДИМОСТИ
И КОНСТАНТЫ АССОЦИАЦИИ**

На основе выбранной модели равновесий, уравнения концентрационной зависимости молярной электрической проводимости из кондуктометрических данных рассчитаны предельные молярные электрические проводимости и константы ассоциации 1-1-электролитов в 1-пропаноле в интервале 200–368 К. Обнаружены минимумы на полигермах констант ассоциации.

Глубина и характер межчастичных взаимодействий в значительной мере определяются внешними условиями. Одним из параметров, приводящих к изменению интенсивности всей совокупности взаимодействий (ион-ионных, ион-молекулярных и межмолекулярных), является температура. В связи с этим полигермические исследования свойств растворов электролитов позволяют судить о соотношении между различными видами взаимодействий.

Температурные зависимости свойств растворов электролитов в спиртах широко представлены в основном для температур выше 273 К, в то время как при низких температурах ограничены работами Бартеля и Крестова с сотр. [1–4]. Необходимость таких исследований подчеркивает ряд особенностей в поведении жидких переохлажденных систем. При исследовании спиртовых растворов тетраалкиламмониевых солей на полигермах констант ассоциации при низких температурах были обнаружены минимумы [1, 5]. Однако природа этого явления удовлетворительного объяснения не получила. С целью дальнейшего изучения закономерностей влияния температуры и природы компонентов на равновесные и транспортные свойства проведено кондуктометрическое исследование электролитных растворов LiBr, LiNO₃, NaI, KI, RbI, CsI, Me₄NBr, Et₄NBr, Pr₄NBr, Bu₄NCl, Bu₄NBr, Bu₄NCl, Bu₄NNO₃, Bu₄NSCN, Bu₄NClO₄, Bu₄NBPh₄ в 1-пропаноле при 200–368 К.

Экспериментальная часть

1-Пропанол квалификации «х. ч.» очищали по методике [6]. Дополнительное обезвоживание растворителя осуществляли оксидом кальция и металлическим кальцием. Остаточное содержание воды, контролируемое амперометрическим титрованием реагентом Фишера, не превышало 0,01 %. Растворитель, используемый в эксперименте, характеризовался следующими физико-химическими параметрами при 298,15 К: электрическая проводимость $\kappa_s = 5 \cdot 10^{-6}$ Ом⁻¹·м⁻¹, плотность $\rho_s = 799,4$ кг/м³, диэлектрическая проницаемость $\epsilon_s = 20,42$, вязкость $\eta_s = 0,00177$ Па·с, пока-

затель преломления $n_D = 1,3855$ (293,15 К). Соли NaI, KI, RbI, CsI квалификации «ос. ч.» не подвергали дополнительной очистке. Остальные соли имели квалификацию «ч.» или синтезированные в лаборатории, их очищали путем пяти-шестикратной перекристаллизации из соответствующих смесей: Me₄NBr, Et₄NBr, Pr₄NBr, Bu₄NBr — метанол — диэтиловый эфир; Bu₄NCI, Bu₄NI, Bu₄NNO₃, Bu₄NSCN, Bu₄NCIO₄ — бензол — гексан; LiBr, LiNO₃ этанол — диэтиловый эфир. Окончательную сушку солей проводили в вакуум-экскаторе при 333 К до постоянной массы.

Растворы готовили весовым методом. Пересчет массовой концентрации в молярную осуществляли с использованием величин плотности растворов, рассчитанных как в [7].

Электрическую проводимость измеряли при помощи моста переменного тока Р5058 на частоте 1000 Гц. Погрешность значений молярных электрических проводимостей в соответствие с ГОСТ 8.207-76 [8] не превышала 0,8 %. Термостатирование проводили с точностью $\pm 0,02\text{--}0,05$ К.

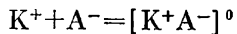
Обсуждение результатов

Величины молярной электрической проводимости (λ) для изученных систем спирт — электролит возрастают с повышением температуры. При обработке кондуктометрических данных важным является выбор модели равновесий в растворе. Процесс ионной ассоциации даже в случае 1—1-электролитов можно рассматривать как многостадийный, что требует учета вкладов образующихся ассоциатов при решении экстраполяционной задачи нахождения величин предельной молярной электрической проводимости (λ_0) и константы ассоциации (K_a). Использование закона действующих масс для описания межионного взаимодействия не предполагает ограничений на глубину реакций ассоциации, т. е. нет однозначного решения вопроса о природе образующихся ассоциатов и их существовании в определенном концентрационном интервале. При измерениях λ в диапазоне концентраций $1 \cdot 10^{-4}\text{--}5 \cdot 10^{-3}$ моль/дм³ принято считать, что основное ассоциативное равновесие реализуется между ионами и ионными парами. Указанный интервал концентраций находится в пределах теоретического критерия концентрации (c_{\max}), вплоть до которой можно пренебречь межионными взаимодействиями более высоких порядков, чем парные [9]

$$c_{\max} = 9,1 \cdot 10^{-15} (\epsilon_s T)^3. \quad (1)$$

В выполненных измерениях концентрация растворов не превышала величины c_{\max} .

Для экспериментального установления модели равновесий было проведено исследование УФ-спектров растворов NaBPh₄ и LiNO₃ в 1-пропаноле при 298,15 К. Анализ матрицы светопоглощений как функции концентрации электролита и частоты по методу [10] свидетельствует о существовании в растворах указанных электролитов в области концентраций $1 \cdot 10^{-4}\text{--}5 \cdot 10^{-2}$ моль/дм³ двух поглощающих форм, которые соответствуют равновесию



Поскольку для 1—1-электролитов в 1-пропаноле величины K_a различаются не более, чем на 10—15 % и максимальная концентрация спектрофотометрического исследования на порядок выше используемой в кондуктометрическом эксперименте, вывод относительно указанного равновесия можно перенести и на другие электролиты.

Из зависимостей λ от c по совокупному методу [11] рассчитаны λ_0 и K_a . Необходимые данные по физико-химическим параметрам 1-пропанола взяты из [12–14]. Расчет ионных коэффициентов активности проводили с использованием второго приближения Дебая – Хюкеля. В качестве теоретического выражения, описывающего концентрационную зависимость λ , применили уравнение Ли и Уитона [15] в модификации [16] (ЛУПТ) для записи аналитических выражений для $C_1–C_5$

$$\lambda = \lambda_0 [1 + C_1(Rbk) + C_2(Rbk)^2 + C_3(Rbk)^3] - \frac{pk}{(1+X)} \times \\ \times \left[1 + C_4(Rbk) + C_5(Rbk)^2 + \frac{x}{12} \right], \quad (2)$$

где $x = kR$, $k^2 = 8\pi N_A c / \epsilon_s k_B T$, $b = 2q/R$, $q = e^2/2\epsilon_s k_B T$ – параметр Бъеррума, $p = 1,6402 \cdot 10^{-8}/\eta_s$, R – параметр наибольшего сближения ионов, c – молярная концентрация. Выбор уравнения (2) связан с тем, что при его выводе использована наиболее теоретически обоснованная модель, учитывающая изменение межионного взаимодействия на близких расстояниях

$$V_{ij}(r) = \begin{cases} e_i e_j / \epsilon_s r, & R < r, \\ e_i e_j / \epsilon_s r + W_{ij}^*(r), & 0 < r \leq R, \end{cases} \quad (3)$$

где $U_{ij}(r)$ – парный межионный потенциал, $W_{ij}^*(r)$ – потенциал близкодействия.

Оптимизационный процесс проводили по методу Ньютона второго порядка в модификации [17] по алгоритму [18]. Обработка массива экспериментальных кондуктометрических данных в наиболее последовательном трехпараметровом варианте с искомыми параметрами (λ_0 , K_a , R) показывает, что возможность отыскания решения существует лишь в ограниченном интервале температур. При температурах ниже 250 К итерационный процесс расходится. Из трех рассматриваемых параметров наименьшая функциональная связь с целевой функцией Q (Q – сумма квадратов отклонений экспериментальных и теоретических значений λ) наблюдается для R . Изучение влияния R на изменением Q в физически разумном интервале расстояний $((2 \div 16) \cdot 10^{-10}$ м) указывает на существование двух вариантов: 1) для большинства электролитных систем минимум на зависимости $Q = \Phi(R)$ отсутствует, что означает невозможность отыскания трехпараметрового решения; 2) наличие одного минимума, однако, при этом получаемый параметр R , как правило, статистически незначим $\sigma_R \geq \geq R$. Следует также отметить слабую зависимость рассчитываемых значений λ_0 и K_a от выбора R . Указанные выше причины свидетельствуют в пользу перехода к более устойчивому варианту оптимизации с двумя параметрами λ_0 и K_a и фиксированной величиной R , которую, согласно рекомендациям [9], принимали равной бъеррумовскому параметру q .

Результаты расчета предельных молярных электрических проводимостей и констант ассоциации по уравнению (2) с $R = q$ для 1–1-электролитов в 1-пропаноле приведены в табл. 1. Полученные величины находятся в хорошем согласии с литературными данными при 298,15 К (табл. 2).

Предельная молярная электрическая проводимость электролитов монотонно возрастает с повышением температуры. На полимерах констант ассоциации наблюдается минимум. Для галогенидов щелочных металлов такие зависимости обнаружены впервые. Обобщение литературных данных по температурным зависимостям K_a для 1–1-электролитов в *n*-спир-

Tashanika 1

Предельные молярные электрические проводимости и зольность C_a — Александров в 1-пропаноле при различных генераторах

Таблица 2

Значения λ_0 и K_a 1-1-электролитов в 1-пропаноле при 298,15 К ($[\lambda_0]$,
 $[\sigma_\lambda] - \text{м}^2/\text{Ом}\cdot\text{моль}$, $K_a - \text{дм}^3/\text{моль}$)

Электролит	Данные	$\lambda_0 \cdot 10^{-4}$	K_a	$(\lambda_0 + \Delta\lambda_0) \cdot 10^{-4}$	$K_a \pm \Delta K_a$	$\sigma_\lambda \cdot 10^4$
Обработанные по ЛУНГ						
NaI	[19]	23,92	530,0	23,99±0,06	200±7	0,04
	[20]	24,338	422,8	24,34±0,02	190±2	0,02
	[21]	24,297	205,3	24,21±0,03	188±3	0,04
KI	Наши			24,20±0,06	224±6	0,07
	[19]	25,75	—	26,05±0,46	361±80	0,54
	[20]	26,302	279,9	26,22±0,06	335±5	0,05
RbI	[21]	26,07	336,0	26,02±0,03	338±4	0,02
	Наши			26,10±0,07	401±7	0,07
	[20]	26,959	430,6	26,94±0,04	470±6	0,04
CsI	[21]	26,57	433	26,56±0,02	444±3	0,02
	Наши			26,49±0,07	419±26	0,03
	[20]	27,719	621,5	27,69±0,03	649±6	0,02
Pr ₄ NBr	Наши			27,41±0,11	631±20	0,07
	[19]	24,50	360,0	24,44±0,04	391±7	0,05
	[22]	24,42	270	24,36±0,01	374±2	0,02
Bu ₄ NCl	Наши			23,90±0,04	374±2	0,06
	[22]	22,92	266	22,90±0,04	351±4	0,03
	Наши			22,43±0,05	352±7	0,06
Bu ₄ NCIO ₄	[22]	21,16	149	21,15±0,04	150±4	0,02
	Наши			21,14±0,13	150±10	0,12
	[24]	27,13	769	27,25±0,02	885±2	0,007
Bu ₄ NI	[22]	27,186	904	27,179±0,003	892,5±0,4	0,002
	Наши			27,47±0,09	930±18	0,09
	[21]	24,60	415	24,61±0,06	500±5	0,03
Na ₄ Ni	[22]	24,66	517	24,66±0,02	512±5	0,02
	Наши			24,96±0,05	549±9	0,06

так [1, 5, 23] и собственных измерений указывает на наличие в области низких температур минимума, в области высоких температур — максимума. Положение экстремумов для электролитов с общим противоионом смещается в область более низких температур с увеличением радиуса катиона и с уменьшением радиуса аниона, при переходе от катионов тетраалкиламмония к катионам щелочных металлов.

Появление экстремумов и закономерности в изменении их положения на политетрехах K_a можно объяснить на основании единой количественной теории диссоциации электролитов Измайлова [24] и с привлечением представлений о близкодействующих некулоновских взаимодействиях [23]. В соответствии с теорией Измайлова наличие экстремумов на политетрехах K_a может быть объяснено изменением соотношения от энергетических вкладов от сольватации ионов и недиссоциированных частиц. В работе [23] показано, что с ростом температуры меняется соотношение вкладов от противоположного влияния макроскопической диэлектрической проницаемости среды и близкодействующих эффектов на K_a . Наблюдаемые закономерности будут обсуждены в следующих сообщениях.

Список литературы

- Barthel J., Wachter R., Gores H.-J. // Modern Aspects of Electrochemistry. N. Y.: Plenum Press Publ. Corp., 1979. V. 13. P. 1–79.

2. Barthel J., Gores H.-J., Smidmeer G., Wachter R. // Phys. and Inorg. Chem. 1983, V. 111. P. 33.
3. Колкер А. М., Крестов Г. А. // Современные проблемы химии растворов/Под ред. В. Д. Березина. М.: Наука, 1986. С. 156–191.
4. Колкер А. М., Сафонова Л. П. // Ионная сольватация/Под ред. Г. А. Крестова. М.: Наука, 1987. С. 199–250.
5. Колкер А. М., Сафонова Л. П., Каткова В. Ф., Крестов Г. А. // Журн. физ. химии. 1987. Т. 61. № 11. С. 2937.
6. Неводные растворители/Под ред. Т. Вадингтона. М.: Мир, 1971. 369 с.
7. Калугин О. Н., Губский С. М. // Вестн. ХГУ. 1986. № 289. С. 18.
8. ГОСТ 8.207-76. Прямые измерения с многоократными наблюдениями. Методы обработки результатов исследований. Основные положения. М.: Изд-во стандартов, 1976. 10 с.
9. Justise J.-C. // Comprehensive Treatise of Electrochemistry. N. Y.: Plenum Pres, 1983. V. 5. P. 133–237.
10. Wallace R. M., Katz S. M. // J. Phys. Chem. 1964. V. 68. P. 3890.
11. Калугин О. Н., Вьюнник О. Н. // Журн. общ. химии. 1989. Т. 59. № 7. С. 1628.
12. Справочник химика. М.; Л.: Гос. научно-техн. изд. хим. лит., 1962. Т. I. 1073 с.
13. Davidsont D. W., Cole R. H. // J. Chem. Phys. 1951. V. 19. P. 1484.
14. Dannhauser W., Bahe L. W. // Ibid. 1964. V. 40. P. 3058.
15. Lee W. H., Wheaton R. J. // J. Chem. Soc. Farad. Trans. I. 1979. V. 75. P. 1128.
16. Pethybridge A. D., Taba S. S. // Ibid. 1980. V. 82. P. 2427.
17. Фиакко А., Мак-Кормик Т. Нелинейное программирование. Методы безусловной оптимизации. М.: Мир, 1972. 240 с.
18. Круглов В. О. // Вычислительная математика и вычислительная техника. 1974. Вып. 5. С. 13.
19. Gores T. A., Sears P. G. // J. Phys. Chem. 1956. V. 60. P. 330.
20. Wikander G., Isacsson U. // Z. Phys. Chem. N. F. 1972. B. 81. S. 57.
21. Barthel J., Wachter R., Schmeer G., Hilbinger H. // J. Solut. Chem. 1986. V. 15. P. 449.
22. Evans D. F., Gardam P. // J. Phys. Chem. 1968. V. 72. P. 3281.
23. Калугин О. Н. Температурная зависимость физико-химических свойств спиртовых растворов 1-1-электролитов: Дис. ... канд. хим. наук. Харьков: ХГУ, 1987. 300 с.
24. Измайлов Н. А. Электрохимия растворов. Харьков: Изд-во ХГУ, 1959. 958 с.

Харьковский государственный университет
им. А. М. Горького

Поступила в редакцию
17.1.1990